
Table of Contents

Etude d'un oscillateur linéaire amorti à un degré de liberté	1
1.1) Résolution avec un schéma d'EULER explicite	1
1.2) Résolution avec un schéma d'EULER implicite	3
1.3) Résolution avec un schéma de RUNGE KUTTA	4
1.3.a)	4
1.3.b)	8

Etude d'un oscillateur linéaire amorti à un degré de liberté

```
clear all
close all
% les constantes
T0=1; w0=2*pi/T0;
epsilon=0.02;
b=2*epsilon*w0; % pour simplifier le terme, b=2*epsilon*w0*m
x0=0.01;dx0=0;

syms x t pi;
a='D2x=-4*0.02*pi*Dx-4*pi*pi*x';
x=dsolve(a,'x(0)=0.01','Dx(0)=0');
```

1.1) Résolution avec un schéma d'EULER explicite

```
% 1.1.a) si on choisit dt>2*epsilon*w0#on peut voir que l'amplitude de
la
% solution augmente graduellement
dt=0.01; % dt>2*epsilon*w0
ta=0:dt:10*T0;
% la matrice d'amplification
A=[1,dt; -w0^2*dt,1-dt*b];
Ua(:,1)=[x0;dx0];
for j=1:length(ta)
    Ua(:,j+1)= A*Ua(:,j);
end
Ua(:,length(ta)+1)=[];
figure(1)
plot(ta,Ua(1,:))

% 1.1.b) si on choisit dt=2*epsilon/w0, on peut voir que l'amplitude de
la
% solution est constante.
dt=2*epsilon/w0;
tb=0:dt:10*T0;
```

```

% la matrice d'amplification
A=[1,dt; -w0^2*dt,1-dt*b];
Ub(:,1)=[x0;dx0];
for j=1:length(tb)
    Ub(:,j+1)= A*Ub(:,j);
end
Ub(:,length(tb)+1)=[];
figure(2)
plot(tb,Ub(1,:))

% 1.1.c) si on choisit dt=0.8*2*epsilon/w0,on peut voir que l'amplitude
de
% la solution diminue.
dt=0.8*2*epsilon/w0; % dt=0.8*2*epsilon/w0
tc=0:dt:10*T0;
% la matrice d'amplification
A=[1,dt; -w0^2*dt,1-dt*b];
Uc(:,1)=[x0;dx0];
for j=1:length(tc)
    Uc(:,j+1)= A*Uc(:,j);
end
Uc(:,length(tc)+1)=[];
close all
plot(tc,Uc(1,:))
hold on
ezplot(x,[0,10,-0.01,0.01])
title('oscillateur 1 dll amorti')
legend('Euler explicite 0.8','solution exacte')

% 1.1.d)
close all
% Le critère permet d'étudier la précision de la solution est la
précision
% en période et en amplitude.
% Ici, on étudie la précision en amplitude
rapportexp=0:0.01:1.5;
erreurexp=[];
t=[];
A=[];
for i=2:length(rapportexp)
    dt(i)=rapportexp(i)*2*epsilon/w0;
    t{1,i}=0:dt(i):10*T0;
    % la matrice d'amplification
    A{1,i}=[1,dt(i); -w0^2*dt(i),1-dt(i)*b];
    U=[];
    U(:,1)=[x0;dx0];
    for j=1:length(t{1,i})
        U(:,j+1)= A{1,i}*U(:,j);
    end

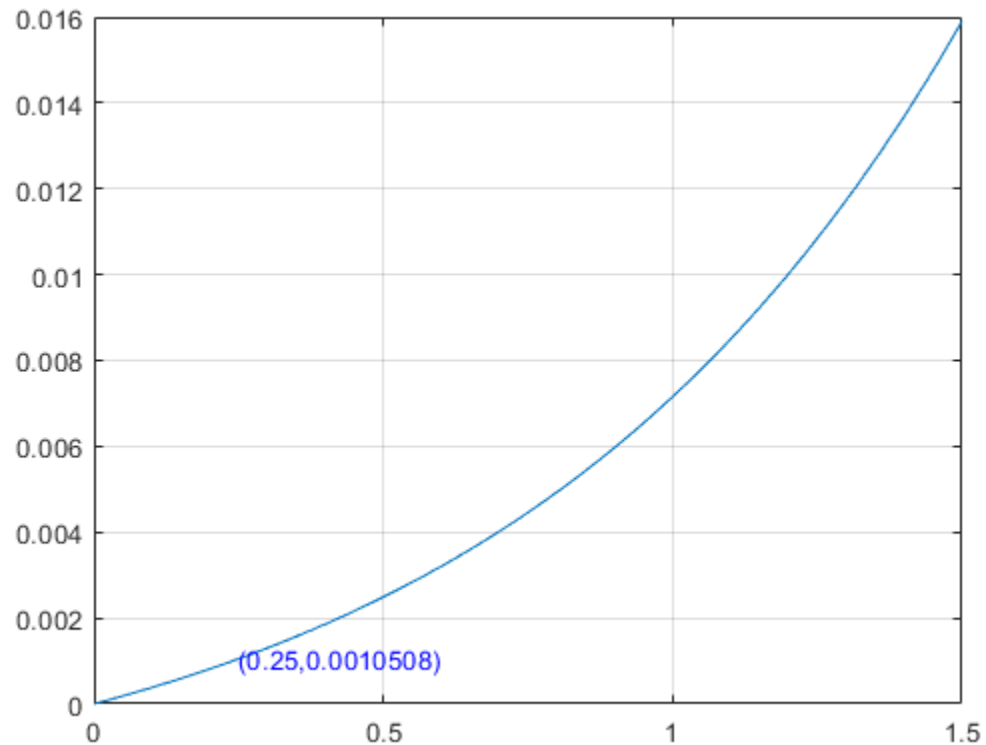
    temp=U(1,end);
    erreurexp(3,i)=temp-subs(x,10);
end
erreurexp(1,:)=rapportexp;

```

```

erreurexp(2,:)=dt;
p=find(rapportexp==0.25);
plot(rapportexp,erreurexp(3,:))
grid on
text(rapportexp(p),erreurexp(3,p),
['(',num2str(rapportexp(p)),',',num2str(erreurexp(3,p)),')'], 'color','b')
% On peut voir que l'erreur est suffisamment petit quand
rapportexp<0.25

```



1.2) Résolution avec un schéma d'EULER implicite

```

close all
rapportimp=0:0.01:1.5;
for i=1:length(rapportimp)
    dt(i)=rapportimp(i)*2*epsilon/w0;
    % la matrice
    Aimp{1,i}=[1,-dt(i); w0^2*dt(i),1+dt(i)*b];
    Aimp{1,i}=inv(Aimp{1,i});
    %les valeurs propres de la matrice d'amplification pour different
    dt
    VPAimp(:,i)=eig(Aimp{1,i});
    %le module des valeurs propres
    moduleVPimp(i)=sqrt(real(VPAimp(1,i))^2+imag(VPAimp(1,i))^2);
end

```

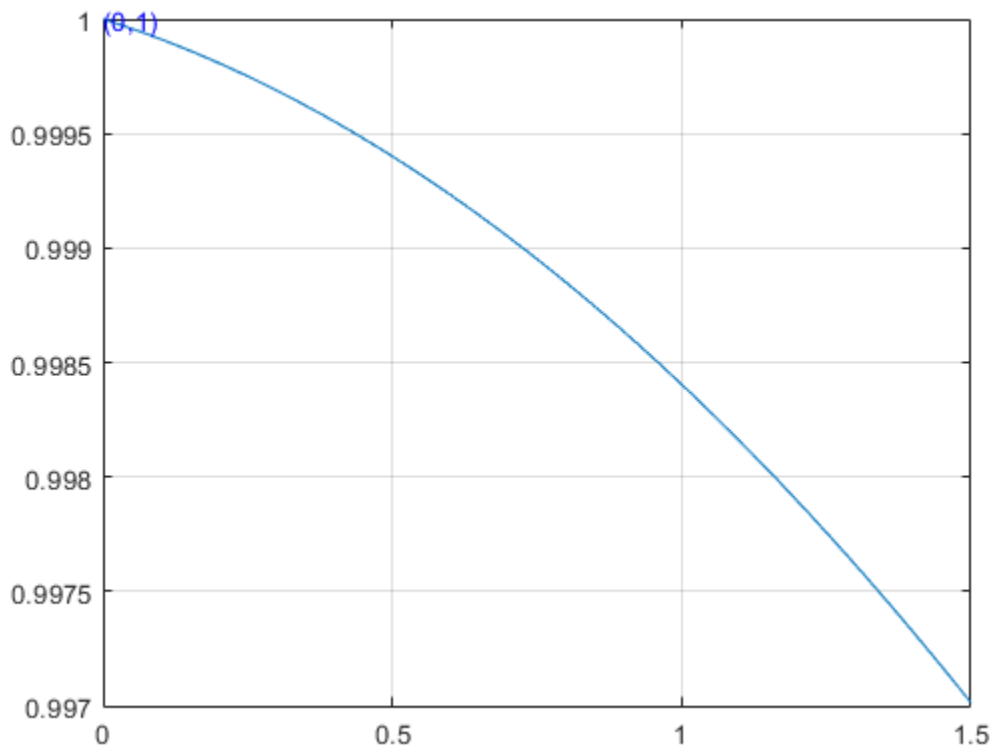
```

PointCritique=find(moduleVPimp==1);
plot(rapportimp,moduleVPimp)
grid on
text(rapportimp(PointCritique),moduleVPimp(PointCritique),
['(',num2str(rapportimp(PointCritique)),',',num2str(moduleVPimp(PointCritique))),']
% On peut voir que le module de la matrice d'amplification du schéma
% implicite est toujours inférieur à 1.
PasCritique=rapportimp(PointCritique)*2*epsilon/w0

```

PasCritique =

0



1.3) Résolution avec un schéma de RUNGE KUTTA

1.3.a)

```

t=[];dt=[];
h=0.04;
dt=h*2*sqrt(2)/w0;
t=0:dt:100*T0;

```

```

Ark=[0,1; -w0^2,-b];
Urk(:,1)=[x0;dx0];
for j=1:length(t)
    k1=Ark*Urk(:,j);
    k2=Ark*(Urk(:,j)+1/2*k1*dt);
    k3=Ark*(Urk(:,j)+1/2*k2*dt);
    k4=Ark*(Urk(:,j)+k3*dt);
    Urk(:,j+1)= Urk(:,j)+1/6*dt*(k1+2*k2+2*k3+k4);
end
Urk(:,length(t)+1)=[];
plot(t,Urk(1,:))
hold on
ezplot(x,[0,100,-0.01,0.01])
title('oscillateur 1 dll amorti')
legend('Runge-Kutta','solution exacte')

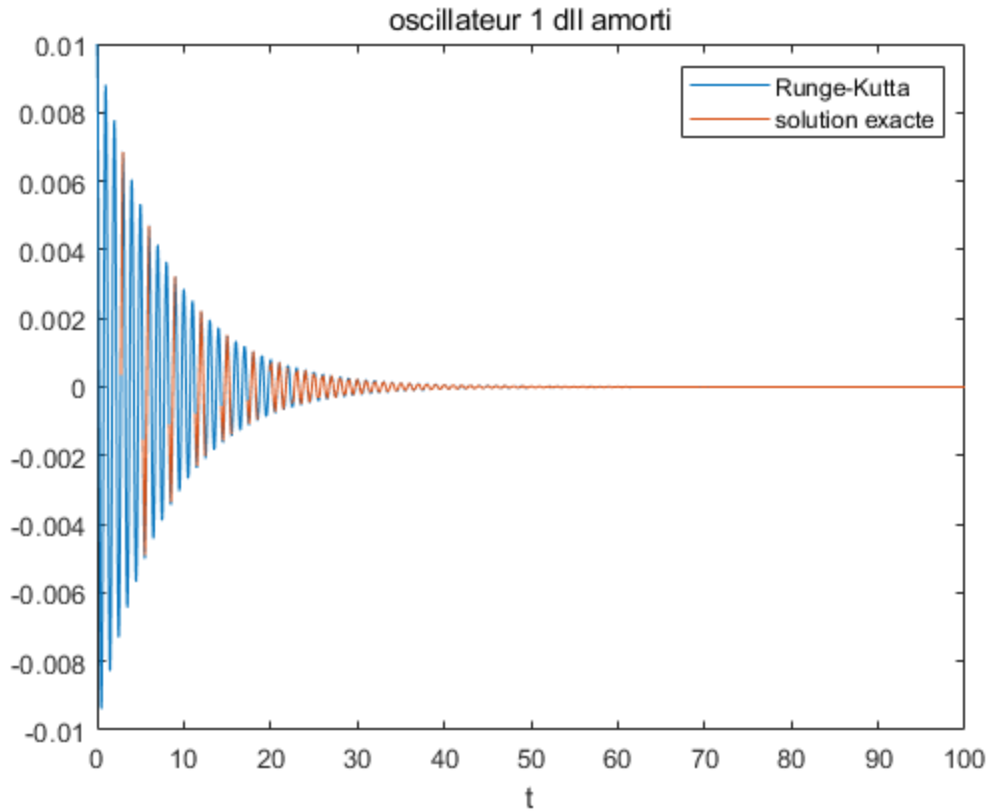
h=0.96;Urk=[];
dt=h*2*sqrt(2)/w0;
t=0:dt:100*T0;
Ark=[0,1; -w0^2,-b];
Urk(:,1)=[x0;dx0];
for j=1:length(t)
    k1=Ark*Urk(:,j);
    k2=Ark*(Urk(:,j)+1/2*k1*dt);
    k3=Ark*(Urk(:,j)+1/2*k2*dt);
    k4=Ark*(Urk(:,j)+k3*dt);
    Urk(:,j+1)= Urk(:,j)+1/6*dt*(k1+2*k2+2*k3+k4);
end
Urk(:,length(t)+1)=[];
figure(2)
plot(t,Urk(1,:))
hold on
ezplot(x,[0,100,-0.01,0.01])
title('oscillateur 1 dll amorti')
legend('Runge-Kutta','solution exacte')

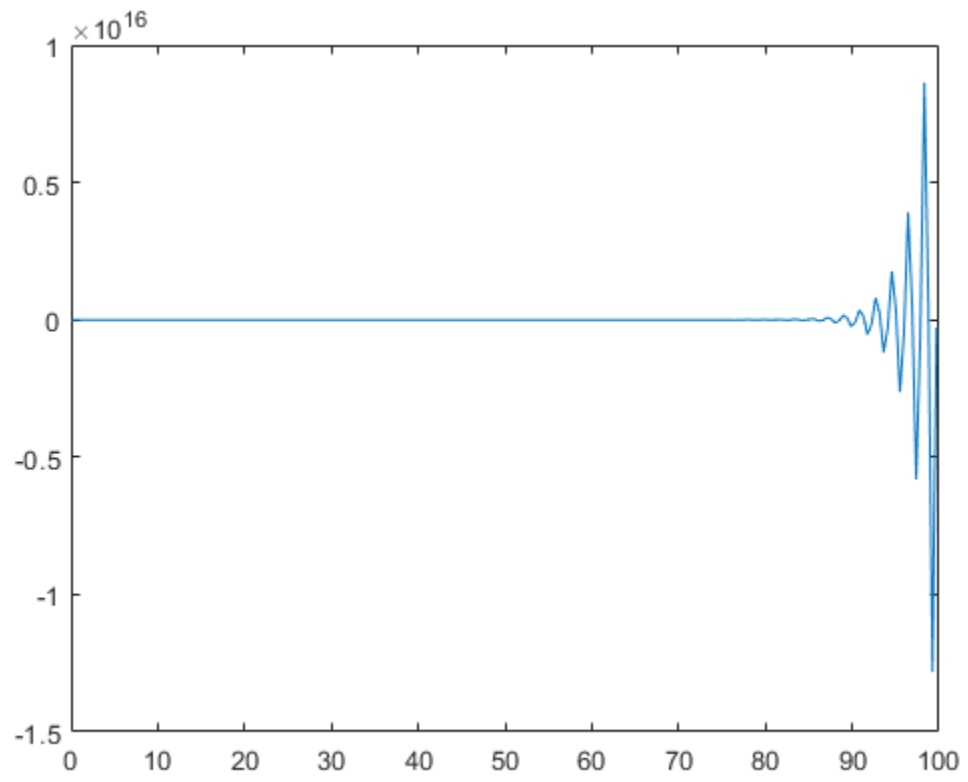
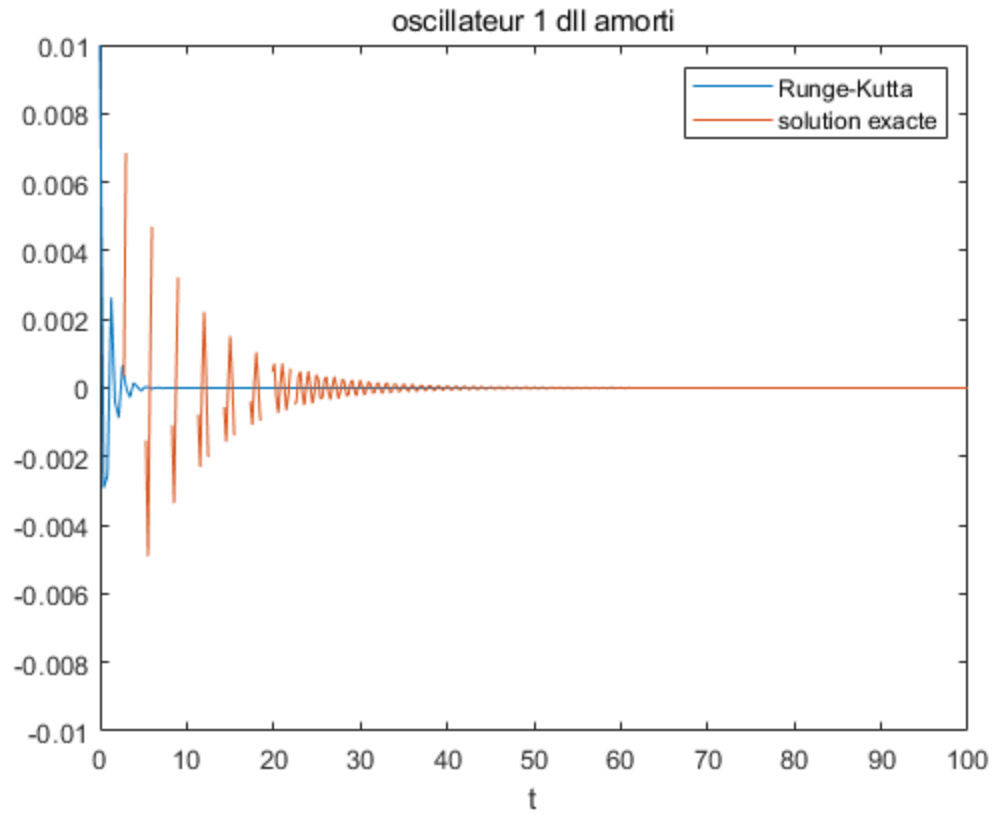
h=1.04;Urk=[];
dt=h*2*sqrt(2)/w0;
t=0:dt:100*T0;
Ark=[0,1; -w0^2,-b];
Urk(:,1)=[x0;dx0];
for j=1:length(t)
    k1=Ark*Urk(:,j);
    k2=Ark*(Urk(:,j)+1/2*k1*dt);
    k3=Ark*(Urk(:,j)+1/2*k2*dt);
    k4=Ark*(Urk(:,j)+k3*dt);
    Urk(:,j+1)= Urk(:,j)+1/6*dt*(k1+2*k2+2*k3+k4);
end
Urk(:,length(t)+1)=[];
figure(3)
plot(t,Urk(1,:))
% hold on
% ezplot(x,[0,100,-0.01,0.01])

```

```
% title('oscillateur 1 dll amorti')
% legend('Runge-Kutta','solution exacte')

% On peut voir que quand h=0.04 et h=0.94, les résultats sont stables,
% mais
% quand h=1.04, le résultat n'est pas stable et il est divergent. le
% résultat de h=0.04 est plus précis que celui de h=0.96
```





1.3.b)

En utilisant le méthode dichotomie, on cherche la valeur approximative du pas de temps critique.

```
% hc=1.0121875
```

```
% dtc=0.91128892
```

```
% hmin=1.011875, hmax=1.0125, hmax-hmin=0.000625<0.001
```

Published with MATLAB® R2019a

Table of Contents

Etude d'un double pendule avec l'hypothèse des petits mouvements	1
1.Résolution avec un schéma de NEWMARK explicite	1
1.1) La matrice d'amplification	1
1.2)	2
1.3)	3
1.4)	3
1.5)	4
1.6)	4
2. Résolution avec un schéma de NEWMARK implicite	7
2.1)	7
2.2)	8
2.3)	9
2.4)	9
2.5)	10
2.6)	10

Etude d'un double pendule avec l'hypothèse des petits mouvements

Les constantes

```
m=2;
a=0.5;
g=9.81;
F0=20;
w=2*pi;
theta10=0;
theta20=0;
dtheta10=-1.31519275;
dtheta20=-1.85996342;
T0=8;
Ide=[1 0; 0 1];
Zero=zeros(2,2);
```

1.Résolution avec un schéma de NEWMARK explicite

1.1) La matrice d'amplification

```
syms dt
beta=0;gamma=0.5;
B=inv([2 1; 1 1]);
C=[2 0; 0 1];
D=B*C;
```

```

A1=[Ide+dt*dt*beta*g/a*D,Zero; dt*gamma*g/a*D, Ide];
A2=[Ide-dt*dt*(0.5-beta)*g/a*D, dt*Ide; -dt*(1-gamma)*g/a*D, Ide];
% La matrice d'amplification
Anewexp=inv(A1)*A2

Anewexp =

[
                                                    1 - (981*dt^2)/50,
                                                    (981*dt^2)/100,
dt,
                                                    0]

[
                                                    (981*dt^2)/50,
                                                    1 - (981*dt^2)/50,
0,
                                                    dt]
[ (981*dt*((981*dt^2)/50 - 1))/50 - (981*dt)/50 + (962361*dt^3)/5000,
  (981*dt)/100 - (981*dt*((981*dt^2)/50 - 1))/100 - (962361*dt^3)/5000,
1 - (981*dt^2)/50,
  (981*dt^2)/100]
[ (981*dt)/50 - (981*dt*((981*dt^2)/50 - 1))/50 - (962361*dt^3)/2500,
  (981*dt*((981*dt^2)/50 - 1))/50 - (981*dt)/50 + (962361*dt^3)/5000,
(981*dt^2)/50,
  1 - (981*dt^2)/50]

```

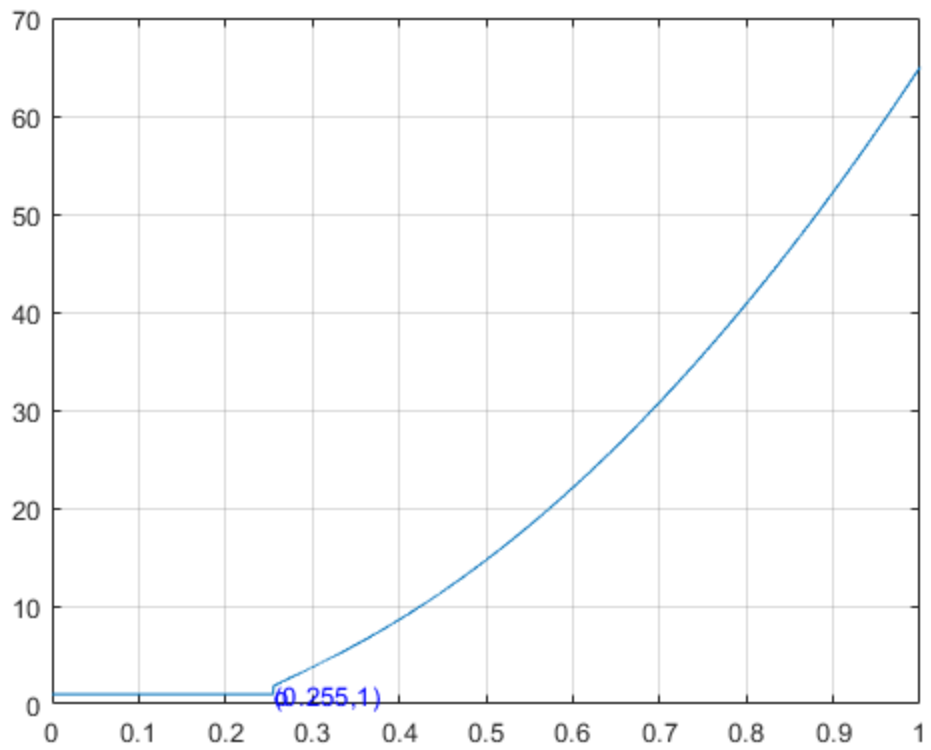
1.2)

```

close all
dt=[];A1=[];A2=[];Anewexp=[];Unewexp=[];

dt=0:0.0001:1;
moduleVP=[];
for j=1:length(dt)
    A1{1,j}=[Ide+dt(j)*dt(j)*beta*g/a*D,Zero; dt(j)*gamma*g/a*D, Ide];
    A2{1,j}=[Ide-dt(j)*dt(j)*(0.5-beta)*g/a*D, dt(j)*Ide; -dt(j)*(1-
gamma)*g/a*D, Ide];
    % La matrice d'amplification
    Anewexp{1,j}=inv(A1{1,j})*A2{1,j};
    %les valeurs propres de la matrice d'amplification pour different
    dt
    VPAnewexp(:,j)=eig(Anewexp{1,j});
    %le module des valeurs propres
    moduleVP(j)=sqrt(real(VPAnewexp(1,j))^2+imag(VPAnewexp(1,j))^2);
end
plot(dt,moduleVP)
grid on
PointCritique=find(dt==0.255);
text(dt(PointCritique),moduleVP(PointCritique),'o','color','b')
text(dt(PointCritique),moduleVP(PointCritique),
['(',num2str(dt(PointCritique)),',',num2str(moduleVP(PointCritique)),')'],'color',
% On peut voir que quand dt>0.255s, le module de la valeur propre de
la
% matrice d'amplification est supérieur à 1.
% Donc le pas de temps critique est 0.255s

```



1.3)

1.4)

```
photo=imread('image_20200329092537.jpg');  
imshow(photo)
```

$$\underline{1.3)} \quad m\vec{\alpha} \begin{bmatrix} 2 & 1 \\ 1 & 1 \end{bmatrix} \ddot{q}_0 + mga \begin{bmatrix} 2 & 0 \\ 0 & 1 \end{bmatrix} q_0 = F_0 \sin \omega t \Big|_{\frac{a}{\sqrt{2}}}$$

$$\Rightarrow \ddot{q}_0 + \frac{g}{a} \begin{bmatrix} 2 & -1 \\ -2 & 2 \end{bmatrix} q_0 = 0$$

$$\underline{1.4)} \quad \begin{cases} q_{n+1} = q_n + \Delta t \dot{q}_n + \Delta t^2 (0.5 - \beta) \ddot{q}_n + \Delta t^2 \beta \ddot{q}_{n+1} \\ \dot{q}_{n+1} = \dot{q}_n + \Delta t (1 - \gamma) \ddot{q}_n + \Delta t \gamma \ddot{q}_{n+1} \end{cases}$$

$$\begin{aligned} \left(1 + \Delta t^2 \beta \frac{g}{a} \begin{bmatrix} 2 & -1 \\ -2 & 2 \end{bmatrix}\right) q_{n+1} &= \left(1 - \Delta t^2 (0.5 - \beta) \frac{g}{a} \begin{bmatrix} 2 & -1 \\ -2 & 2 \end{bmatrix}\right) q_n + \Delta t \dot{q}_n \\ &+ \Delta t^2 \cdot 0.5 \cdot \frac{F_0}{ma} \begin{bmatrix} 1 & -1 \\ -1 & 2 \end{bmatrix} \sin \omega t \Big|_{\frac{1}{\sqrt{2}}} \end{aligned}$$

$$\begin{aligned} \Delta t \gamma \frac{g}{a} \begin{bmatrix} 2 & -1 \\ -2 & 2 \end{bmatrix} q_{n+1} + \dot{q}_{n+1} &= -\Delta t (1 - \gamma) \frac{g}{a} \begin{bmatrix} 2 & -1 \\ -2 & 2 \end{bmatrix} q_n + \dot{q}_n \\ &+ \Delta t \frac{F}{ma} \begin{bmatrix} 1 & -1 \\ -1 & 2 \end{bmatrix} \sin \omega t \Big|_{\frac{1}{\sqrt{2}}} \end{aligned}$$

1.5)

1.6)

```

close all
dt=[];t=[];A1=[];A2=[];Anewexp=[];Unewexp=[];d2Unewexp=[];
Mf=[];Mf1=[];
dt=0.02;
A1=[Ide+dt*dt*beta*g/a*D,Zero; dt*gamma*g/a*D, Ide];
A2=[Ide-dt*dt*(0.5-beta)*g/a*D, dt*Ide; -dt*(1-gamma)*g/a*D, Ide];
% La matrice d'amplification
Anewexp=inv(A1)*A2;
fcolone=[1;1/sqrt(2);1;1/sqrt(2)];
Unewexp(:,1)=[theta10;theta20;dtheta10;dtheta20];
t=0:dt:T0;
for j=1:length(t)
    % la matrice concernant F0
    Mf{1,j}=[dt*dt*0.5*F0/(m*a)*B*sin(w*j*dt), Zero; Zero, dt*F0/
(m*a)*B*sin(w*j*dt)];
    Mf1{1,j}=inv(A1)*Mf{1,j}*fcolone;
    Unewexp(:,j+1)=Anewexp*Unewexp(:,j)+Mf1{1,j};
    % d2q
    d2Unewexp(:,j)=-g/a*D*Unewexp(1:2,j)+F0/(m*a)*B*sin(w*j*dt)*[1;1/
sqrt(2)];
end
Unewexp(:,length(t)+1)=[];

```

```

plot(t,Unewexp(1,:))
hold on
plot(t,Unewexp(2,:))
legend('Newmark explicite theta1','Newmark explicite theta2')
% q(t),dq(t),d2q(t) pour le schéma NEWMARK explicite
% t=0s
q0=Unewexp(1:2,1)
dq0=Unewexp(3:4,1)
d2q0=d2Unewexp(:,1)
% t=dt
q_dt=Unewexp(1:2,2)
dq_dt=Unewexp(3:4,2)
d2q_dt=d2Unewexp(:,2)
% t=2*dt
q_2dt=Unewexp(1:2,3)
dq_2dt=Unewexp(3:4,3)
d2q_2dt=d2Unewexp(:,3)
% t=0.5s
q_05=Unewexp(1:2,26)
dq_05=Unewexp(3:4,26)
d2q_05=d2Unewexp(:,26)

```

$q_0 =$

0
0

$dq_0 =$

-1.3152
-1.8600

$d2q_0 =$

0.7342
1.0383

$q_{dt} =$

-0.0262
-0.0370

$dq_{dt} =$

-1.2975
-1.8349

$d2q_{dt} =$

1.7574
2.4854

$q_{2dt} =$

-0.0518
-0.0732

$dq_{2dt} =$

-1.2594
-1.7811

$d^2q_{2dt} =$

2.7513
3.8909

$q_{05} =$

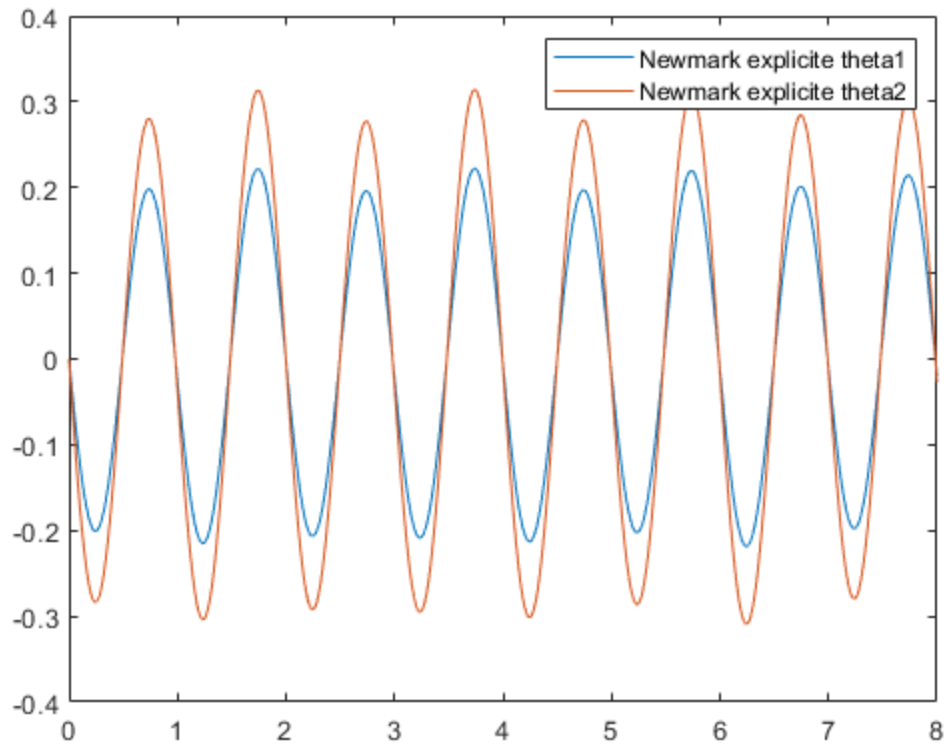
0.0108
0.0152

$dq_{05} =$

1.2688
1.7943

$d^2q_{05} =$

-0.8579
-1.2133



2. Résolution avec un schéma de NEWMARK implicite

beta=0.25;gamma=0.5;

2.1)

```
syms dt
A1=[Ide+dt*dt*beta*g/a*D,Zero; dt*gamma*g/a*D, Ide];
A2=[Ide-dt*dt*(0.5-beta)*g/a*D, dt*Ide; -dt*(1-gamma)*g/a*D, Ide];
% La matrice d'amplification
Anewimp=inv(A1)*A2

Anewimp =

[
    (962361*dt^4)/(962361*dt^4 +
392400*dt^2 + 20000) - (200*(981*dt^2 + 100)*((981*dt^2)/100 -
1))/(962361*dt^4 + 392400*dt^2 + 20000),
    (981*dt^2*(981*dt^2 + 100))/(962361*dt^4 + 392400*dt^2 + 20000)
- (98100*dt^2*((981*dt^2)/100 - 1))/(962361*dt^4 + 392400*dt^2 +
20000),
    (200*dt*(981*dt^2 + 100))/(962361*dt^4 + 392400*dt^2
+ 20000),
    (98100*dt^3)/(962361*dt^4 +
392400*dt^2 + 20000)]
```

```

[ (1962*dt^2*(981*dt^2 + 100))/(962361*dt^4
+ 392400*dt^2 + 20000) - (196200*dt^2*((981*dt^2)/100 - 1))/
(962361*dt^4 + 392400*dt^2 + 20000),
(962361*dt^4)/(962361*dt^4 + 392400*dt^2 + 20000) - (200*(981*dt^2 +
100)*((981*dt^2)/100 - 1))/(962361*dt^4 + 392400*dt^2 + 20000),
(196200*dt^3)/(962361*dt^4 + 392400*dt^2 + 20000),
(200*dt*(981*dt^2 + 100))/(962361*dt^4 + 392400*dt^2 + 20000)]
[ (1924722*dt^3)/(962361*dt^4 + 392400*dt^2 + 20000)
- (981*dt)/50 + (1962*(981*dt^3 + 200*dt)*((981*dt^2)/100
- 1))/(962361*dt^4 + 392400*dt^2 + 20000), (981*dt)/100 -
(196200*dt*((981*dt^2)/100 - 1))/(962361*dt^4 + 392400*dt^2 + 20000)
- (962361*dt^2*(981*dt^3 + 200*dt))/(100*(962361*dt^4 + 392400*dt^2
+ 20000)), 1 - (1962*dt*(981*dt^3 + 200*dt))/(962361*dt^4 +
392400*dt^2 + 20000), (196200*dt^2)/(962361*dt^4
+ 392400*dt^2 + 20000)]
[ (981*dt)/50 - (392400*dt*((981*dt^2)/100 - 1))/(962361*dt^4
+ 392400*dt^2 + 20000) - (962361*dt^2*(981*dt^3 + 200*dt))/
(50*(962361*dt^4 + 392400*dt^2 + 20000)), (1924722*dt^3)/
(962361*dt^4 + 392400*dt^2 + 20000) - (981*dt)/50 + (1962*(981*dt^3 +
200*dt)*((981*dt^2)/100 - 1))/(962361*dt^4 + 392400*dt^2 + 20000),
(392400*dt^2)/(962361*dt^4 + 392400*dt^2 + 20000), 1
- (1962*dt*(981*dt^3 + 200*dt))/(962361*dt^4 + 392400*dt^2 + 20000)]

```

2.2)

```

close all
dt=[];A1=[];A2=[];Anewimp=[];Unewimp=[];

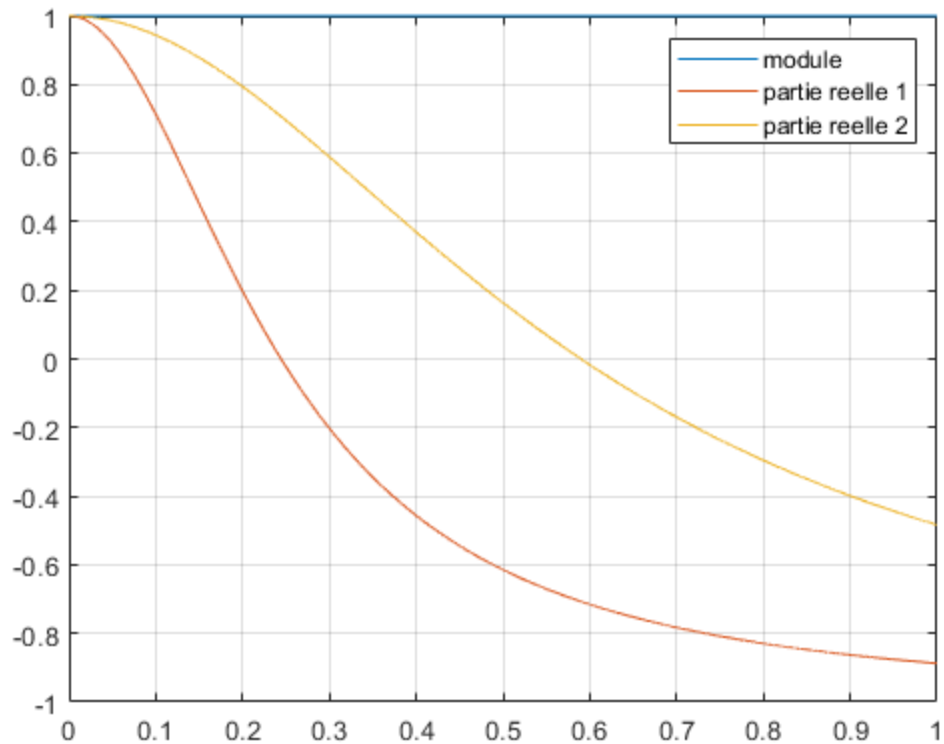
dt=0:0.0001:1;
moduleVPimp=[];
for j=1:length(dt)
    A1{1,j}=[Ide+dt(j)*dt(j)*beta*g/a*D,Zero; dt(j)*gamma*g/a*D, Ide];
    A2{1,j}=[Ide-dt(j)*dt(j)*(0.5-beta)*g/a*D, dt(j)*Ide; -dt(j)*(1-
gamma)*g/a*D, Ide];
    % La matrice d'amplification
    Anewimp{1,j}=inv(A1{1,j})*A2{1,j};
    %les valeurs propres de la matrice d'amplification pour different
    dt
    VPAnewimp(:,j)=eig(Anewimp{1,j});
    %le module des valeurs propres

    moduleVPimp(j)=sqrt(real(VPAnewimp(1,j))^2+imag(VPAnewimp(1,j))^2);
end
plot(dt,moduleVPimp)
hold on
plot(dt,VPAnewimp(1,:))
hold on
plot(dt,VPAnewimp(3,:))
grid on
legend('module','partie reelle 1','partie reelle 2')
% On peut voir que la plus grande valeur propre de cette matrice

```

```
% d'amplification est 1. C'est-à-dire que pour les valeurs du pas de
temps
% comprises entre 0s et 1s, le schéma de NEWMARK implicite est
toujours
% stable.
```

```
##: ## X ##/## Y #####
##: ## X ##/## Y #####
```



2.3)

2.4)

C'est presque la même que celui de la question 1.3) et 1.4)

```
photo=imread('image_20200329120946.jpg');
imshow(photo)
```

—	module
—	partie réelle 1
—	partie réelle 2

$$2.3) \quad m a^2 \begin{bmatrix} 2 & 1 \\ 1 & 1 \end{bmatrix} \ddot{q}_0 + m g a \begin{bmatrix} 2 & 0 \\ 0 & 1 \end{bmatrix} q_0 = F_0 \sin \omega t \begin{vmatrix} a \\ a/\sqrt{2} \end{vmatrix}$$

$$\Rightarrow \ddot{q}_0 + \frac{g}{a} \begin{bmatrix} 2 & -1 \\ -2 & 2 \end{bmatrix} q_0 = 0$$

$$2.4) \quad \begin{cases} q_{n+1} = q_n + \Delta t \dot{q}_n + \Delta t^2 (0.5 - \beta) \ddot{q}_n + \Delta t^2 \beta \ddot{q}_{n+1} \\ \dot{q}_{n+1} = \dot{q}_n + \Delta t (1 - \gamma) \ddot{q}_n + \Delta t \gamma \ddot{q}_{n+1} \end{cases}$$

$$\left(1 + \Delta t^2 \beta \frac{g}{a} \begin{bmatrix} 2 & -1 \\ -2 & 2 \end{bmatrix}\right) q_{n+1} = \left(1 - \Delta t^2 (0.5 - \beta) \frac{g}{a} \begin{bmatrix} 2 & -1 \\ -2 & 2 \end{bmatrix}\right) q_n + \Delta t \dot{q}_n + \Delta t^2 \cdot 0.5 \cdot \frac{F_0}{m a} \begin{bmatrix} 1 & -1 \\ -1 & 2 \end{bmatrix} \sin \omega t \begin{vmatrix} 1 \\ 1/\sqrt{2} \end{vmatrix}$$

$$\Delta t \gamma \frac{g}{a} \begin{bmatrix} 2 & -1 \\ -2 & 2 \end{bmatrix} q_{n+1} + \dot{q}_{n+1} = -\Delta t (1 - \gamma) \frac{g}{a} \begin{bmatrix} 2 & -1 \\ -2 & 2 \end{bmatrix} q_n + \dot{q}_n + \Delta t \frac{F_0}{m a} \begin{bmatrix} 1 & -1 \\ -1 & 2 \end{bmatrix} \sin \omega t \begin{vmatrix} 1 \\ 1/\sqrt{2} \end{vmatrix}$$

$$\begin{bmatrix} 1 + \Delta t^2 \beta \frac{g}{a} D & 0 \\ \Delta t \gamma \frac{g}{a} D & 1 \end{bmatrix} \begin{pmatrix} q_{n+1} \\ \dot{q}_{n+1} \end{pmatrix} = \begin{bmatrix} 1 - \Delta t^2 (0.5 - \beta) \frac{g}{a} D & \Delta t \\ -\Delta t (1 - \gamma) \frac{g}{a} D & 1 \end{bmatrix} \begin{pmatrix} q_n \\ \dot{q}_n \end{pmatrix} + \begin{vmatrix} 1 \\ 1/\sqrt{2} \\ 1 \\ 1/\sqrt{2} \end{vmatrix}$$

$$\text{Ici, } D = \begin{bmatrix} 2 & -1 \\ -2 & 2 \end{bmatrix} + \begin{vmatrix} \Delta t^2 \cdot 0.5 \frac{F_0}{m a} B \sin \omega t & 0 \\ 0 & \Delta t \frac{F_0}{m a} B \sin \omega t \end{vmatrix} \begin{vmatrix} 1 \\ 1/\sqrt{2} \\ 1 \\ 1/\sqrt{2} \end{vmatrix}$$

2.5)

2.6)

```
close all
dt=[];t=[];A1=[];A2=[];Anewimp=[];Unewimp=[];d2Unewimp=[];
Mf=[];Mf1=[];
dt=0.02;
A1=[Ide+dt*dt*beta*g/a*D,Zero; dt*gamma*g/a*D, Ide];
A2=[Ide-dt*dt*(0.5-beta)*g/a*D, dt*Ide; -dt*(1-gamma)*g/a*D, Ide];
% La matrice d'amplification
Anewimp=inv(A1)*A2;
fcolone=[1;1/sqrt(2);1;1/sqrt(2)];
Unewimp(:,1)=[theta10;theta20;dtheta10;dtheta20];
t=0:dt:T0;
for j=1:length(t)
    % la matrice concernant F0
```

```

    Mf{1,j}=[dt*dt*0.5*F0/(m*a)*B*sin(w*j*dt), Zero; Zero, dt*F0/
(m*a)*B*sin(w*j*dt)];
    Mf1{1,j}=inv(A1)*Mf{1,j}*fcolone;
    Unewimp(:,j+1)=Anewimp*Unewimp(:,j)+Mf1{1,j};
    % d2q
    d2Unewimp(:,j)=-g/a*D*Unewimp(1:2,j)+F0/(m*a)*B*sin(w*j*dt)*[1;1/
sqrt(2)];
end
Unewimp(:,length(t)+1)=[];
plot(t,Unewimp(1,:))
hold on
plot(t,Unewimp(2,:))
legend('Newmark implicite theta1','Newmark implicite theta2')
% q(t),dq(t),d2q(t) pour le schéma NEWMARK implicite
% t=0s
q0=Unewimp(1:2,1)
dq0=Unewimp(3:4,1)
d2q0=d2Unewimp(:,1)
% t=dt
q_dt=Unewimp(1:2,2)
dq_dt=Unewimp(3:4,2)
d2q_dt=d2Unewimp(:,2)
% t=2*dt
q_2dt=Unewimp(1:2,3)
dq_2dt=Unewimp(3:4,3)
d2q_2dt=d2Unewimp(:,3)
% t=0.5s
q_05=Unewimp(1:2,26)
dq_05=Unewimp(3:4,26)
d2q_05=d2Unewimp(:,26)

```

q0 =

0
0

dq0 =

-1.3152
-1.8600

d2q0 =

0.7342
1.0383

q_dt =

-0.0261
-0.0369

$$d\alpha_{dt} =$$

-1.2975
-1.8350

$$d^2\alpha_{dt} =$$

1.7571
2.4849

$$\alpha_{2dt} =$$

-0.0517
-0.0731

$$d\alpha_{2dt} =$$

-1.2594
-1.7811

$$d^2\alpha_{2dt} =$$

2.7506
3.8899

$$\alpha_{05} =$$

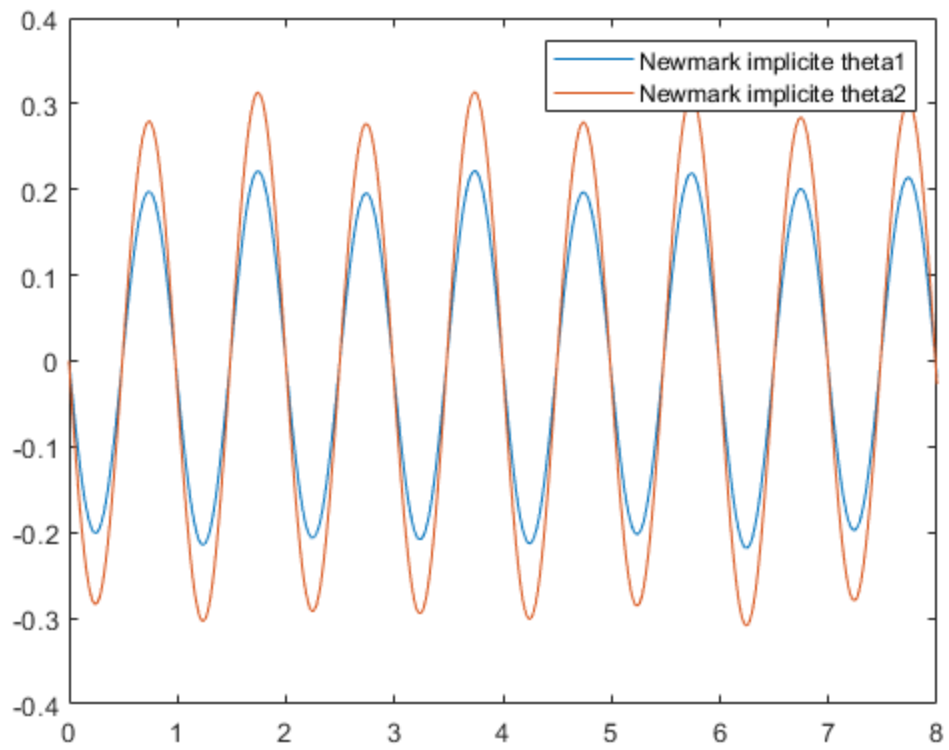
0.0106
0.0150

$$d\alpha_{05} =$$

1.2683
1.7936

$$d^2\alpha_{05} =$$

-0.8558
-1.2103



Published with MATLAB® R2019a

Table of Contents

oscillateur non linéaire à un degré de liberté	1
1. Résolution avec un schéma de NEWMARK explicite	1
1.1)	1
1.2)	2
1.3)	3
2. Résolution avec un schéma de NEWMARK implicite	5
2.1)	5
2.2)	5
2.3)	5
2.4)	6
3. Energie mécanique	8
3.1)	8
3.2)	8
3.3)	9

oscillateur non linéaire à un degré de liberté

Les constantes

```
q0=2;  
dq0=0;  
w0=2*pi;  
a=0.1;  
T0=6;
```

1. Résolution avec un schéma de NEWMARK explicite

```
gamma=0.5; beta=0;
```

1.1)

```
photo=imread('image_20200329210943.jpg');  
imshow(photo)
```

$$\ddot{q} + \omega_0^2 q(1 + a q^2) = 0$$

$$q_{j+1} = q_j + \Delta t \dot{q}_j + \Delta t^2 (0.5 - \beta) \ddot{q}_j + \beta \Delta t^2 \ddot{q}_{j+1}$$

$$\dot{q}_{j+1} = \dot{q}_j + \Delta t (1 - \gamma) \ddot{q}_j + \gamma \Delta t \ddot{q}_{j+1}$$

$$\begin{aligned} \beta=0 \quad \gamma=0.5 &\Rightarrow q_{j+1} = q_j + \Delta t \dot{q}_j + \Delta t^2 \cdot 0.5 \cdot \ddot{q}_j \\ &\Rightarrow q_{j+1} = q_j + \Delta t \dot{q}_j - 0.5 \Delta t^2 \omega_0^2 q_j (1 + a q_j^2) \\ &\hookrightarrow \ddot{q}_{j+1} = -\omega_0^2 q_{j+1} (1 + a q_{j+1}^2) \\ &\hookrightarrow \dot{q}_{j+1} = \dot{q}_j + \Delta t \cdot 0.5 \ddot{q}_j + 0.5 \Delta t \ddot{q}_{j+1} \end{aligned}$$

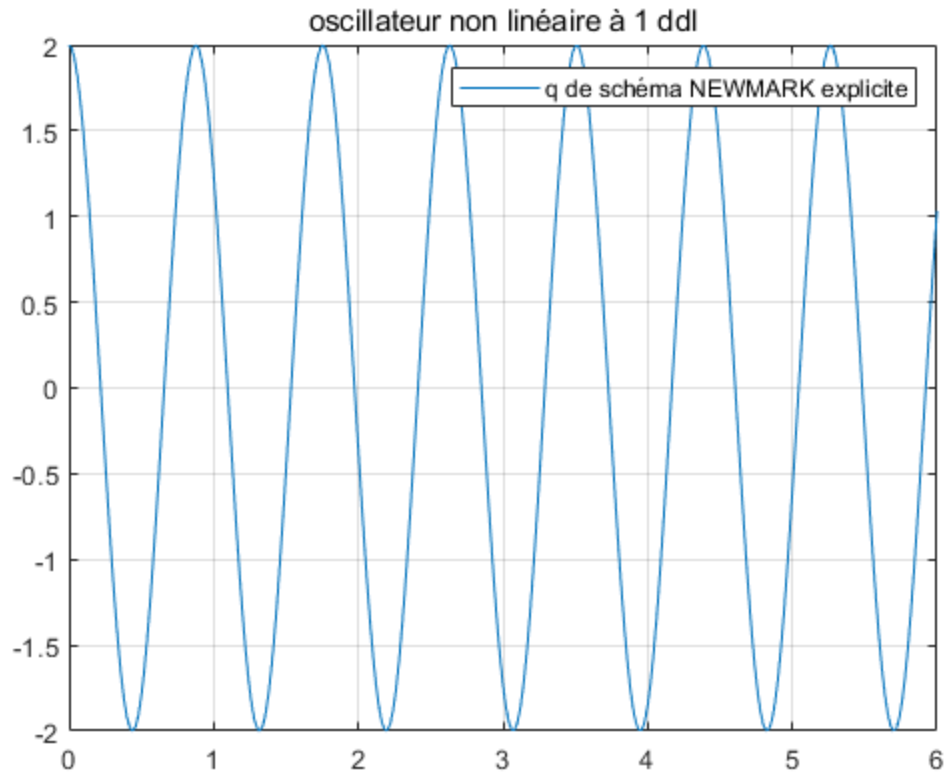
On peut déterminer q_{j+1} , \dot{q}_{j+1} , \ddot{q}_{j+1} selon
 q_j , \dot{q}_j , \ddot{q}_j

1.2)

```

close all
dt=0.02;
t=0:dt:T0;
qexp=[];
dqexp=[];
d2qexp=[];
qexp(1)=q0;dqexp(1)=dq0;
d2qexp(1)=-w0^2*qexp(1)*(1+a*qexp(1)*qexp(1));
for j=1:length(t)
    qexp(j+1)=qexp(j)+dt*dqexp(j)+0.5*dt*dt*d2qexp(j);
    d2qexp(j+1)=-w0^2*qexp(j+1)*(1+a*qexp(j+1)*qexp(j+1));
    dqexp(j+1)=dqexp(j)+dt*0.5*d2qexp(j)+0.5*dt*d2qexp(j+1);
end
qexp(length(t)+1)=[];
dqexp(length(t)+1)=[];
d2qexp(length(t)+1)=[];
plot(t,qexp)
grid on
title('oscillateur non linéaire à 1 ddl')
legend('q de schéma NEWMARK explicite')

```



1.3)

$q(t), dq(t), d^2q(t)$ pour le schéma NEWMARK explicite $t=0s$

```

q0=qexp(1)
dq0=dqexp(1)
d2q0=d2qexp(1)
% t=dt
q_dt=qexp(2)
dq_dt=dqexp(2)
d2q_dt=d2qexp(2)
% t=2*dt
q_2dt=qexp(3)
dq_2dt=dqexp(3)
d2q_2dt=d2qexp(3)
% t=T0
q_T0=qexp(301)
dq_T0=dqexp(301)
d2q_T0=d2qexp(301)

```

$q0 =$

2

$$dq_0 =$$

$$0$$

$$d^2q_0 =$$

$$-110.5396$$

$$q_{\dot{t}} =$$

$$1.9779$$

$$dq_{\dot{t}} =$$

$$-2.1917$$

$$d^2q_{\dot{t}} =$$

$$-108.6310$$

$$q_{2\dot{t}} =$$

$$1.9123$$

$$dq_{2\dot{t}} =$$

$$-4.3091$$

$$d^2q_{2\dot{t}} =$$

$$-103.1048$$

$$q_{T0} =$$

$$1.0329$$

$$dq_{T0} =$$

$$12.0118$$

$$d^2q_{T0} =$$

$$-45.1299$$

2. Résolution avec un schéma de NEWMARK implicite

```
gamma=0.5; beta=0.25;
```

2.1)

On doit chercher à minimiser la différence entre la valeur estimée de d^2q et la valeur calculée par l'équation(2)---la valeur absolue du résidu

2.2)

```
photo=imread('image_20200329221227.jpg');  
imshow(photo)
```

$$\begin{aligned} \ddot{q}_{j+1}^* &\Rightarrow q_{j+1}^* = q_j + \Delta t \dot{q}_j + \Delta t(0.5 - \beta) \ddot{q}_j + \beta \Delta t^2 \ddot{q}_{j+1}^* \\ \ddot{q}_{j+1}^{**} &= -\omega_0^2 q_{j+1}^* (1 + a q_{j+1}^*) \\ \text{correction} &\frac{\ddot{q}_{j+1}^* - \ddot{q}_{j+1}^{**}}{2} \end{aligned}$$

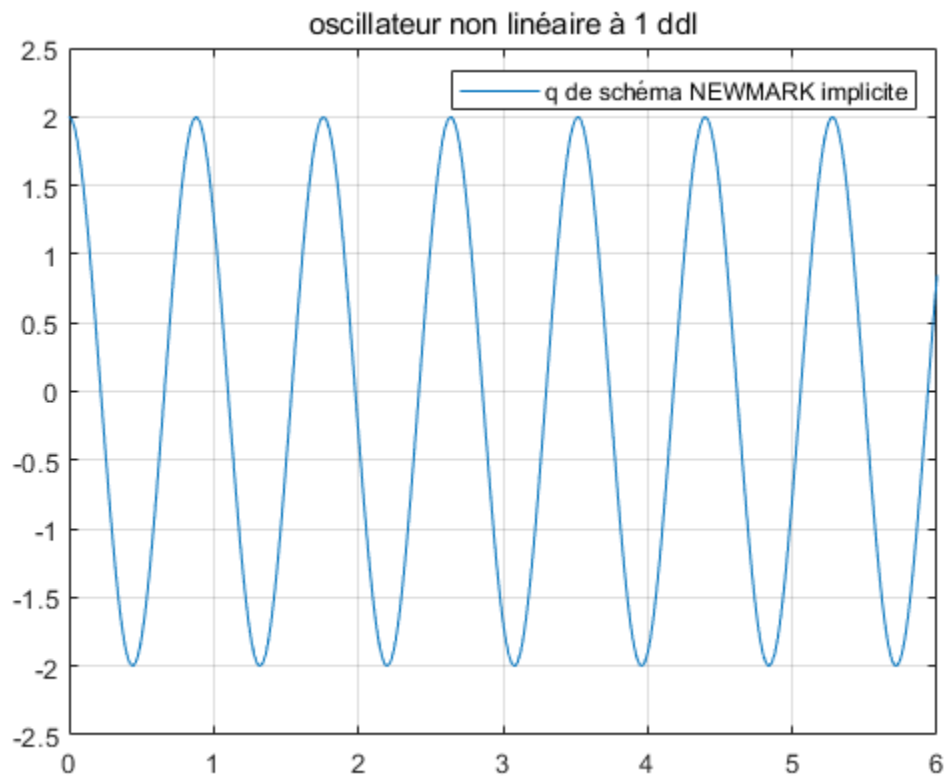
2.3)

```
close all  
dt=0.02;  
t=0:dt:T0;  
qimp=[];  
dqimp=[];  
d2qimp=[];  
qimp(1)=q0;dqimp(1)=dq0;  
d2qimp(1)=-w0^2*qimp(1)*(1+a*qimp(1)*qimp(1));  
for j=1:length(t)  
    d2qimp(j+1)=0;  
    valeur_residu=0;  
    temp=0;  
    while(1)  
        d2qimp(j+1)=d2qimp(j+1)-valeur_residu/2;  
        %dq(j+1)=dq(j)+dt*0.5*d2q(j)+0.5*dt*dt*d2q(j+1);  
        qimp(j+1)=qimp(j)+dt*dqimp(j)+dt*dt*0.25*d2qimp(j)+0.25*dt*dt*d2qimp(j+1);  
        temp=-w0*w0*qimp(j+1)*(1+a*qimp(j+1)*qimp(j+1));  
        valeur_residu=d2qimp(j+1)-temp;  
        if abs(valeur_residu)>0.01
```

```

        continue
    else
        break
    end
end
end
qimp(j
+1)=qimp(j)+dt*dqimp(j)+dt*dt*0.25*d2qimp(j)+0.25*dt*dt*d2qimp(j+1);
    dqimp(j+1)=dqimp(j)+dt*0.5*d2qimp(j)+0.5*dt*d2qimp(j+1);
end
qimp(length(t)+1)=[];
dqimp(length(t)+1)=[];
d2qimp(length(t)+1)=[];
plot(t,qimp)
grid on
title('oscillateur non linéaire à 1 ddl')
legend('q de schéma NEWMARK implicite')

```



2.4)

$q(t), dq(t), d2q(t)$ pour le schéma NEWMARK implicite $t=0s$

```

q0=qimp(1)
dq0=dqimp(1)
d2q0=d2qimp(1)
% t=dt
q_dt=qimp(2)

```

```
dq_dt=dqimp(2)
d2q_dt=d2qimp(2)
% t=2*dt
q_2dt=qimp(3)
dq_2dt=dqimp(3)
d2q_2dt=d2qimp(3)
% t=T0
q_T0=qimp(301)
dq_T0=dqimp(301)
d2q_T0=d2qimp(301)
```

$q_0 =$

2

$dq_0 =$

0

$d^2q_0 =$

-110.5396

$q_{dt} =$

1.9781

$dq_{dt} =$

-2.1918

$d^2q_{dt} =$

-108.6413

$q_{2dt} =$

1.9131

$dq_{2dt} =$

-4.3098

$d^2q_{2dt} =$

-103.1599

$q_{T0} =$

0.8458

$dq_{T0} =$

12.6671

$d^2q_{T0} =$

-35.7715

3. Energie mécanique

3.1)

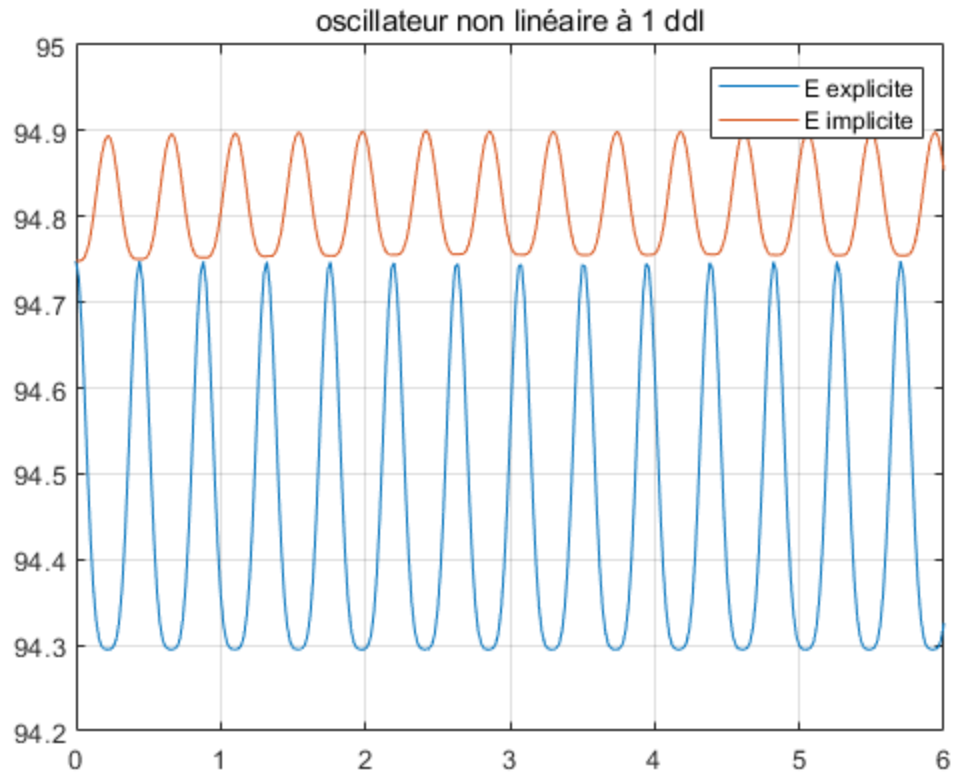
L'énergie mécanique est définie par la somme de l'énergie élastique et l'énergie cinétique.

3.2)

```
Eexp=[];Eimp=[];
for j=1:length(t)

    Eexp(j)=0.5*w0*w0*qexp(j)*qexp(j)+0.25*w0*w0*a*qexp(j)^4+0.5*dqexp(j)^2;

    Eimp(j)=0.5*w0*w0*qimp(j)*qimp(j)+0.25*w0*w0*a*qimp(j)^4+0.5*dqimp(j)^2;
end
clf;
plot(t,Eexp)
hold on
plot(t,Eimp)
grid on
title('oscillateur non linéaire à 1 ddl')
legend('E explicite','E implicite')
```



3.3)

On observe que l'énergie mécanique oscille périodiquement aussi.

Published with MATLAB® R2019a